

جزوه طراحی سازه های فولادی ۱

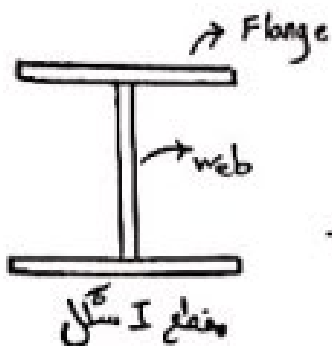
(به روش LRFD)

-آموزش مطالب و مفاهیم طراحی
-بر اساس مقررات ملی ساختمان ۱۳۹۲
-به همراه جداول پروفیل های ساختمانی اشتهال

امیرحسین گروسی



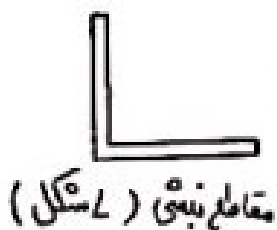
بررسی براساتیک و استفاده از جدول اسفالی :
 آشنایی با پرویل های ساختمانی :



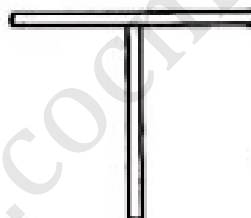
- { IPE (مقاطع نیم پهن) → ۴
- { INP (مقاطع باریک) → ۱۸
- { IPB (مقاطع پهن) → ۷



→ UNP → ۱۹

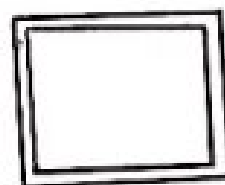
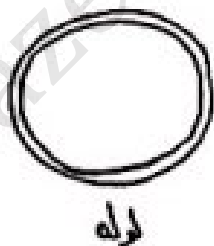
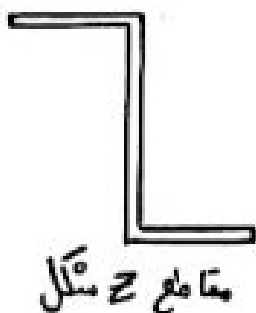


→ ۲۲

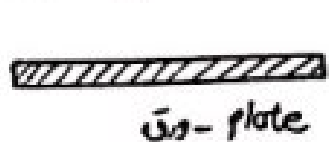


→ ۲۲

مقاطع سی (T شکل)



جعبه - قوطی - Box



→ ۲۲
 220 x 10
 mm mm



ترکیب بارهای متری در حالت LRFD :

- ۱) $1.4 DL$
- ۲) $1.2 DL + 1.6 LL + 0.5 (L_r یا S)$
- ۳) $1.2 DL + 1.6 (L_r یا S) + LL$
- ۴) $1.2 DL + LL + 0.5 (L_r یا S) ± 1.4 w_x$
- ۵) $1.2 DL + LL + 0.5 (L_r یا S) ± 1.4 w_y$
- ۶) $1.2 DL + LL + 0.2 S ± EQ_x ± 0.3 EQ_y$
- ۷) $1.2 DL + LL + 0.2 S ± EQ_y ± 0.3 EQ_x$
- ۸) $0.9 DL ± 1.4 w_x$
- ۹) $0.9 DL ± 1.4 w_y$
- ۱۰) $0.9 DL ± EQ_x ± 0.3 EQ_y$
- ۱۱) $0.9 DL ± EQ_y ± 0.3 EQ_x$

DL : بار مرده

LL : بار زنده

w : بار باد

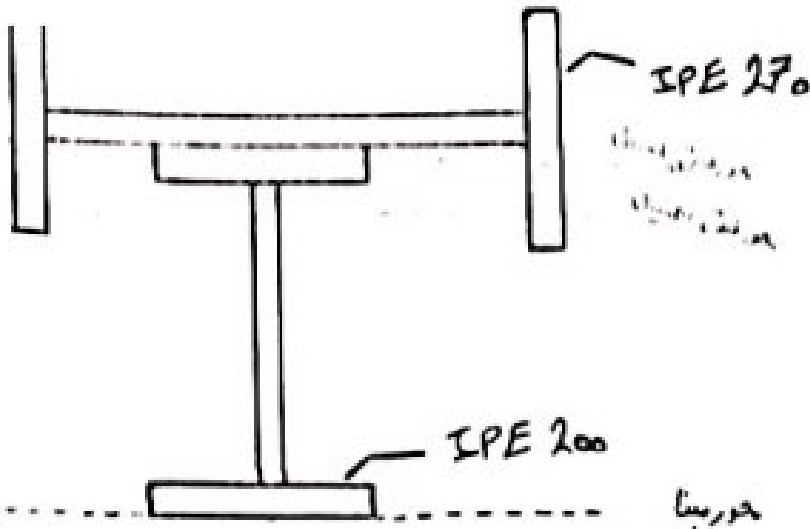
EQ : بار زلزله

S : بار برف

L_r : بار زنده مابقی



مثال (تعیین مشخصات ضلعی
قطع نشان داده شده:



مشخصات IPE 200:

$$h = 21 \text{ cm}, b = 13 \text{ cm}, t_w = 1.2 \text{ cm}, t_f = 1.1 \text{ cm}, h - t_c = 19.9 \text{ cm}$$

$$A = 21.5 \text{ cm}^2, I_x = 192 \text{ cm}^4, I_y = 142 \text{ cm}^4,$$

مشخصات IPE 270:

$$h = 27 \text{ cm}, b = 17.5 \text{ cm}, t_w = 1.2 \text{ cm}, t_f = 1.2 \text{ cm}, h - t_c = 21.9 \text{ cm}$$

$$A = 45.9 \text{ cm}^2, I_y = 579 \text{ cm}^4, I_x = 42 \text{ cm}^4,$$

(1) سطح مقطع (A):

$$A = 21.5 + 45.9 = 67.4 \text{ cm}^2$$

(2) حل جبر خطی الاستیک (y_c):

$$\bar{y}_c = \frac{\sum A_i \bar{y}_i}{\sum A_i} = \frac{(21.5 \times 1) + (45.9 \times 21.22)}{67.4} = 14.27 \text{ cm}$$

A: سطح مقطع; \bar{y}_i : فاصله مرکز سطح از محور

(3) حل جبر خطی الاستیک (y_p):

$$A_{top} = A_{bot} = \frac{67.4}{2} = 33.7 \text{ cm}^2$$

$$\rightarrow (1 \times 1.1) + ((2 \times (2 \times 1.1)) \times 1.2) + (1 \times (y_c - (2 - 1.1))) + 2(1.2 \times (y_c - (2 - (13.5 - (2 \times 1.2 + 1.2)))))) = 33.7$$

$$\rightarrow \bar{y}_p = 19.74 \text{ cm}$$



(۷) شعاع روبرویی (r):

$$r_x = \sqrt{\frac{I_x}{A}} = \sqrt{\frac{4449,91}{76,4}} = 7,92 \text{ cm}$$

$$r_y = \sqrt{\frac{I_y}{A}} = \sqrt{\frac{2932}{76,4}} = 6,93 \text{ cm}$$

(۸) ثابت پیچشی (J):

$$J = \sum_{i=1}^n \frac{1}{3} b t^3$$

با در نظر گرفتن از ابعاد مختلف

r: تعداد ابعادی مستطیل در مقطع

t: ضخامت هر یک از ابعاد مختلف

$$\Rightarrow J = \frac{1}{3} [b_1 t_1^3 + b_2 t_2^3 + b_3 t_3^3 + b_4 t_4^3 + b_5 t_5^3 + b_6 t_6^3]$$

$$\Rightarrow J = \frac{1}{3} [13,5 \times 1,2^3 + 26,94^3 + 13,5 \times 1,2^3 + 1,0 \times 7,15^3 + 18,7 \times 4,5^3 + 1,0 \times 7,15^3]$$

$$\Rightarrow J = 17,11 \text{ cm}^4$$

qarqasi

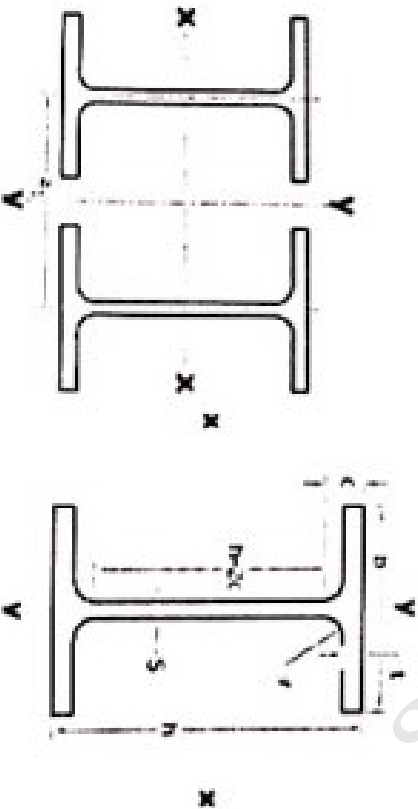


انجمن مهندسان گروہی

جداول ابعادی

IPE

h	b	t	t	r	c	h _{2c}	A	G	I _x	S _x	r _x	Z _x	I _y	S _y	r _y	Z _y	h ₁	e ₁
mm	mm	mm	mm	mm	mm	mm	cm ²	kg/m	cm ⁴	cm ³	cm	cm ³	cm ⁴	cm ³	cm	cm ³	mm	mm
80	46	3.8	5.2	5	10.2	59	7.64	6	80.1	20	3.24	23.2	8.49	3.69	1.05	5.82	63	22.6
100	55	4.1	5.7	7	12.7	74	10.3	8.1	171	34.2	4.07	39.4	15.9	5.79	1.24	9.15	79	14.8
120	64	4.4	6.3	7	13.3	93	13.2	10.4	318	53	4.9	60.7	27.7	8.65	1.45	13.6	96	22.2
140	73	4.7	6.9	7	13.9	112	16.4	12.9	541	77.3	5.74	88.3	44.9	12.3	1.65	19.2	112	19.7
160	82	5	7.4	9	16.4	127	20.1	15.8	859	109	6.58	124	68.3	16.7	1.84	26.1	129	21.9
180	91	5.3	8	9	17	146	23.9	18.8	1420	146	7.42	166	101	22.2	2.06	34.6	145	24.4
200	100	5.6	8.5	12	20.5	159	28.5	22.4	1940	194	8.26	221	142	28.5	2.24	44.6	162	26.5
220	110	5.9	9.2	12	21.2	177	33.4	26.2	2710	252	9.11	285	205	37.3	2.48	58.1	179	29.3
240	120	6.2	9.8	15	24.8	190	39.1	30.7	3890	324	9.97	367	284	47.3	2.6	71.9	196	31.8
270	135	6.6	10.7	15	25.2	219	45.9	36.1	5290	429	11.2	484	420	62.2	3.02	96.9	220	35.7
300	150	7.1	10.7	15	25.7	248	53.8	42.2	8360	557	12.5	628	604	80.5	3.35	125	245	39.6
330	160	7.5	11.5	18	29.5	271	62.6	49.1	11770	713	13.7	804	788	98.5	3.55	154	270	42.0
360	170	8	12.7	18	30.7	298	72.7	57.1	16270	904	15	1019	1040	123	3.79	191	294	44.7
400	180	8.6	13.5	21	34.5	331	84.5	66.3	24140	1160	16.5	1407	1320	146	3.95	229	326	46.9
450	190	9.4	14.6	21	35.6	378	98.8	77.6	33740	1500	18.5	1702	1680	176	4.12	276	365	49.4
500	200	10.2	16	21	37	426	116	90.7	48700	1940	20.4	2194	2140	214	4.31	336	404	51.8
550	210	11.1	17.2	24	41.2	467	134	106	67120	2440	22.3	2787	2670	254	4.45	400	442	54.0
600	220	12	19	24	43	514	156	122	92080	3070	24.3	3512	3390	308	4.66	486	481	56.6



انجینئرینگری

جہاں ایشیائی

IPE

ipe	C_u cm	J cm	Lp (ST37) cm	Lp (ST52) cm	Lr (ST37) cm	Lr (ST52) cm
80	118.75	0.57	53.35	43.55	265.32	183.61
100	153.48	0.90	63.00	51.44	273.87	193.28
120	189.24	1.39	73.67	60.15	297.19	212.60
140	198.58	2.06	83.84	68.44	322.56	233.26
160	1976.21	2.85	93.49	76.32	341.18	249.70
180	7449.96	3.96	104.67	85.45	371.16	273.37
200	13018.65	5.22	113.81	92.92	389.88	289.67
220	22773.78	7.15	126.01	102.87	426.49	317.82
240	37624.35	9.36	132.11	107.85	454.34	340.29
270	76870.84	12.04	153.45	125.27	492.46	372.60
300	126378.68	15.70	170.21	138.96	535.05	407.47
330	196411.23	20.70	180.38	147.25	559.33	427.66
360	273624.95	29.14	192.57	157.21	598.00	456.74
400	457961.43	37.72	200.70	163.85	615.94	471.11
450	796297.27	51.47	209.34	170.90	641.22	494.27
500	1233265.60	71.73	218.98	178.78	664.75	516.96
550	2154871.23	95.53	226.10	184.59	691.29	536.17
600	2866475.44	124.06	234.77	191.80	729.71	563.86

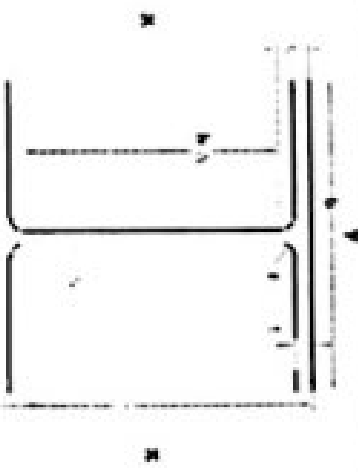


ایئر سٹریٹنگ کوئیسی

جنرل انجینئر

IPB

IPB	h	b	t	r	c	h-2c	A	G	I _x	S _x	r _x	Z _x	I _y	S _y	r _y	Z _y	r _z
mm	mm	mm	mm	mm	mm	mm	cm ²	kg/m	cm ⁴	cm ³	cm	cm ³	cm ⁴	cm ³	cm	cm ³	mm
100	100	100	10	12	22	56	26	20.4	450	89.9	4.16	104	167	33.5	2.51	51.4	27.8
120	120	120	11	12	23	74	34	26.7	664	144	5.04	165	318	52.9	3.06	81	33.4
140	140	140	12	12	24	92	43	33.7	1510	216	5.93	245	550	78.5	3.58	120	38.9
160	160	160	13	15	28	104	54.3	42.6	2490	311	6.78	354	889	111	4.05	170	44.4
180	180	180	14	15	29	122	65.3	51.2	3830	426	7.66	481	1360	151	4.57	231	49.9
200	200	200	15	18	33	134	78.1	61.3	5700	570	8.54	643	2000	200	5.07	306	55.5
220	220	220	16	18	34	152	91	71.5	8090	736	9.43	827	2840	258	5.59	394	61
240	240	240	17	21	38	164	106	83.2	11260	938	10.3	1053	3920	327	6.08	498	66.6
260	260	260	17.5	24	41.5	177	118	93	14920	1150	11.2	1283	5130	395	6.58	607	72.2
280	280	280	18	24	42	196	131	103	19270	1380	12.1	1534	6990	471	7.09	718	77.6
300	300	300	19	27	46	208	149	117	25170	1680	13	1869	8560	571	7.58	870	83.2
320	300	300	20.5	27	47.5	225	161	127	30820	1930	13.8	2149	9240	616	7.57	939	83.1
340	340	300	21.5	27	48.5	243	171	134	36660	2160	14.6	2408	9690	646	7.53	985	82.9
360	360	300	22.5	27	49.5	261	181	142	43190	2400	15.5	2683	10140	676	7.49	1032	82.7
400	400	300	24	27	51	298	198	155	57680	2880	17.1	3232	10820	721	7.4	1104	82.3
450	450	300	26	27	53	344	218	171	79890	3550	19.1	3982	11720	781	7.33	1198	81.9
500	500	300	28	27	55	390	239	187	107200	4290	21.2	4815	12620	842	7.27	1292	81.6
550	550	300	29	27	56	438	254	199	136700	4970	23.2	5591	13080	872	7.17	1341	81.1
600	600	300	30	27	57	486	270	212	171000	5700	25.2	6425	13530	902	7.08	1391	80.7



ایئر مشین انگریزی

جولائی ۲۰۱۸

IPB

IPB	C _u ' cm'	J cm'	Lp (ST37) cm	Lp (ST52) cm	Lr (ST37) cm	Lr (ST52) cm
100	3381.75	7.31	128.55	104.94	911.77	930.99
120	9445.40	11.65	155.48	126.93	994.45	1090.61
140	22528.00	17.59	181.90	148.50	1075.47	1249.19
160	48026.00	25.94	205.78	167.99	1157.24	1403.83
180	93690.40	36.33	232.20	189.56	1240.99	1563.82
200	171125.00	49.50	257.61	210.10	1317.99	1719.20
220	295473.60	65.90	284.03	231.87	1408.22	1884.51
240	487344.20	86.04	308.92	252.20	1488.62	2041.94
260	754190.16	100.98	334.33	272.94	1517.27	2183.60
280	1130909.90	118.97	360.24	294.09	1567.10	2336.60
300	1689765.40	149.65	385.14	314.42	1650.67	2495.00
320	2072075.78	187.49	384.63	314.00	1667.62	2499.63
340	2467438.51	217.11	382.60	312.34	1645.97	2491.90
360	2847523.44	249.79	380.57	310.69	1628.80	2486.66
400	3824220.80	307.32	375.99	306.95	1567.90	2465.78
450	5257436.80	390.30	372.44	304.05	1506.87	2445.44
500	7028835.20	487.01	369.39	301.56	1458.88	2428.59
550	8876120.20	546.39	364.31	297.41	1383.24	2402.58
600	10949742.50	610.75	359.23	293.68	1321.57	2378.25

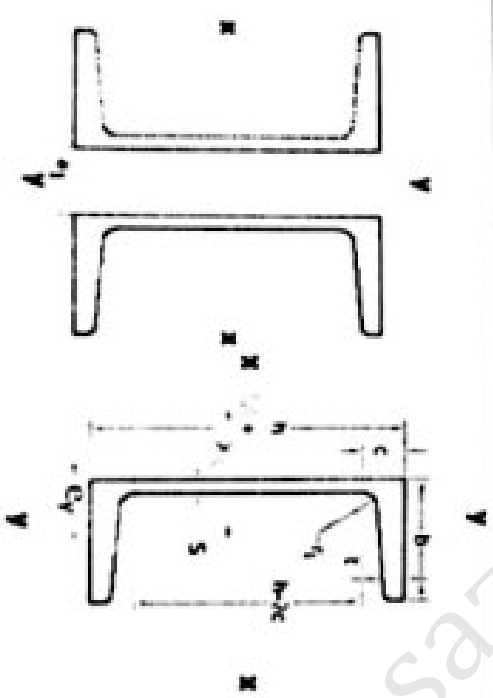


انجمن فنی و حرفه‌ای

دانشگاه آزاد اسلامی

UNP

h	b	t	t _{fl}	c	h-2c	A	G	I _x	S _x	r _x	Z _x	I _y	S _y	r _y	Z _y	I _{xy}	I _{xx}	I _{yy}	I _{xy}	
mm	mm	mm	mm	mm	mm	cm ²	kg/m	cm ⁴	cm ³	cm	cm ³	cm ⁴	cm ³	cm	cm ³	cm ⁴	cm ⁴	cm ⁴	cm ⁴	cm ⁴
80	45	6	8	17	47	11	8.64	106	26.5	3.1	29.6	19.4	6.36	1.33	-12	1.45	2.67	28	20	
100	50	6	8.5	18	64	13.5	10.6	206	41.2	3.91	45.2	29.3	8.49	1.47	16.1	1.55	2.93	42	42	
120	55	7	9	29	82	17	13.4	364	60.7	4.62	66.3	43.2	11.1	1.59	21.2	1.6	3.03	56	56	
140	60	7	10	21	97	20.4	16	605	86.4	5.45	93.9	62.7	14.8	1.75	28.2	1.75	3.37	70	70	
160	65	7.5	10.5	22.5	116	24	18.8	925	116	6.21	125	85.3	18.3	1.89	35	1.84	3.56	82	82	
180	70	8	11	23.5	133	28	22	1350	150	6.95	162	114	22.4	2.02	42.9	1.92	3.75	96	96	
200	75	8.5	11.5	24.5	151	32.2	25.3	1910	191	7.7	205	148	27	2.14	51.7	2.01	3.94	108	108	
220	80	9	12.5	26.5	166	37.4	29.4	2690	245	8.48	262	197	33.6	2.3	64.2	2.14	4.2	122	122	
240	85	9.5	13	28	185	42.3	33.2	3600	300	9.22	320	248	39.6	2.42	75.1	2.23	4.39	134	134	
260	90	10	14	30	201	48.3	37.9	4820	371	9.99	396	317	47.7	2.56	91.6	2.36	4.66	146	146	
280	95	10	15	32	216	53.3	41.8	6290	448	10.9	478	399	57.2	2.74	110	2.53	5.02	160	160	
300	100	10	16	34	232	58.8	46.2	8030	535	11.7	571	495	67.8	2.9	130	2.7	5.41	174	174	
320	100	10	17.5	37	247	75.8	59.5	10870	679	12.1	730	597	80.6	2.81	152	2.6	4.82	182	182	
350	100	10	16	34	283	77.3	60.6	12840	794	12.9	781	570	75	2.72	142	2.4	4.45	204	204	
380	102	13.5	16	33.5	313	80.4	63.1	15760	829	14	879	615	78.7	2.77	169	2.36	4.58	222	222	
400	110	14	18	38	325	91.5	71.8	20350	1020	14.9	1081	846	102	3.04	192	2.65	5.11	240	240	

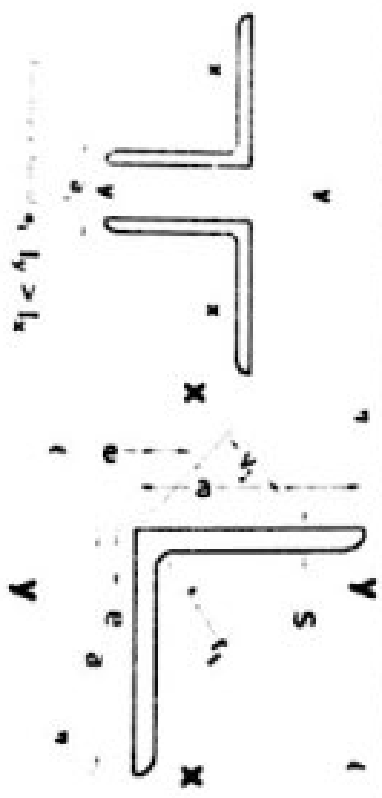


انجمن مهندسان گزینی

معاون اول

لیست یخساق های مسالوی

ردیف	ت ₁ mm	V ₁ cm ³	A cm ²	G kg/m	I _{xx1} cm ⁴	S _{xx1} cm ³	I _{yy1} cm ⁴	S _{yy1} cm ³	h ₁ cm	r ₁ cm	I _{xx2} cm ⁴	S _{xx2} cm ³	h ₂ cm	r ₂ cm	I _{yy2} cm ⁴	S _{yy2} cm ³	r ₃ cm	e cm
40x4	6	1.56	3.08	2.42	4.48	1.56	1.21	7.09	1.52	1.86	1.18	0.78	1.12	1.4	0.98	1.4	0.78	1.12
50x5	7	1.98	4.8	3.77	11	3.05	1.51	17.4	1.9	4.59	2.32	0.98	1.4	1.4	1.07	1.56	1.07	1.56
55x5	8	2.15	5.32	4.18	14.7	3.7	1.66	23.3	2.09	6.11	2.72	1.07	1.56	1.56	1.07	1.56	1.07	1.56
55x6	8	2.21	6.31	4.95	17.3	4.4	1.66	27.4	2.08	7.24	3.28	1.07	1.56	1.56	1.07	1.56	1.07	1.56
60x6	8	2.39	6.91	5.42	22.8	5.29	1.82	36.1	2.26	9.45	3.95	1.17	1.69	1.69	1.17	1.69	1.17	1.69
70x7	9	2.79	9.4	7.38	42.4	8.43	2.12	67.1	2.67	17.6	6.31	1.37	1.97	1.97	1.37	1.97	1.37	1.97
75x8	10	2.89	8.75	6.87	45.6	8.35	2.28	72.2	2.87	18.9	6.54	1.45	2.09	2.09	1.45	2.09	1.45	2.09
75x7	10	2.95	10.1	7.94	52.4	9.67	2.28	83.6	2.88	21.1	7.15	1.45	2.09	2.09	1.45	2.09	1.45	2.09
75x8	10	3.01	11.5	9.03	58.9	11	2.26	93.3	2.85	24.4	8.11	1.46	2.11	2.11	1.46	2.11	1.46	2.11
80x7	10	3.13	10.8	8.49	64.2	11.1	2.44	102	3.07	26.5	8.48	1.57	2.21	2.21	1.57	2.21	1.57	2.21
80x8	10	3.2	12.3	9.66	72.3	12.6	2.42	115	3.06	29.6	9.25	1.55	2.26	2.26	1.55	2.26	1.55	2.26
90x8	11	3.53	13.9	10.9	104	16.1	2.74	165	3.45	43.5	12.3	1.77	2.5	2.5	1.77	2.5	1.77	2.5
90x9	11	3.59	15.5	12.2	116	18	2.74	184	3.45	47.8	13.3	1.76	2.54	2.54	1.76	2.54	1.76	2.54
100x8	12	3.87	15.5	12.2	145	19.9	3.06	230	3.85	59.9	15.5	1.96	2.74	2.74	1.96	2.74	1.96	2.74
100x10	12	3.99	19.2	15.1	177	24.7	3.04	280	3.82	73.3	18.4	1.95	2.74	2.74	1.95	2.74	1.95	2.74
100x12	12	4.1	22.7	17.8	207	29.2	3.02	328	3.8	86.2	21	1.95	2.9	2.9	1.95	2.9	1.95	2.9
110x10	12	4.34	21.2	16.6	239	30.1	3.36	379	4.23	98.6	22.7	2.07	3.07	3.07	2.07	3.07	2.07	3.07
110x12	12	4.45	25.1	19.7	280	35.7	3.34	444	4.21	116	26.1	2.15	3.15	3.15	2.15	3.15	2.15	3.15
120x12	13	4.8	27.5	21.6	368	42.7	3.85	504	4.6	152	31.6	2.25	3.25	3.25	2.25	3.25	2.25	3.25
150x15	16	6.01	43	33.8	898	83.5	4.57	1430	5.76	370	61.6	2.93	4.25	4.25	2.93	4.25	2.93	4.25

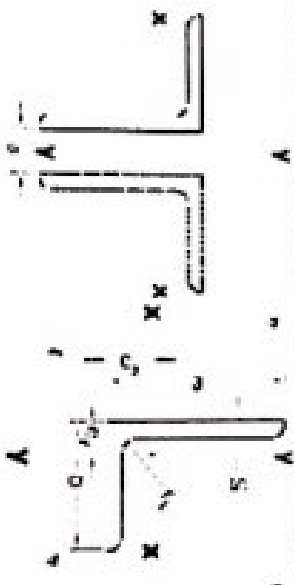


انور محمدی گویسی

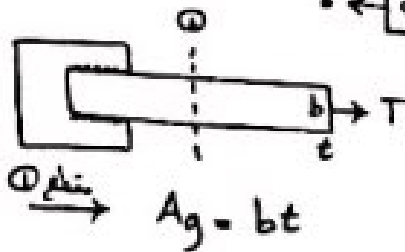
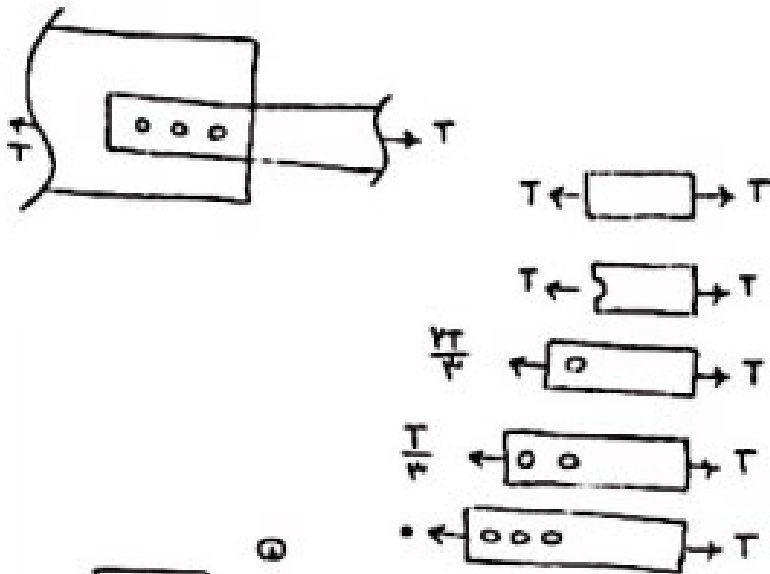
جدول ۱۱

لیست با ساق های لاسلوی

mm	r ₁	A	G	e ₁	e ₂	L ₁	S ₁	r ₁	L ₁	S ₁	r ₂	L ₂	S ₂	r ₂	L ₂	A	L ₂	r ₂	a ₁
40 X 20 X 4	3.5	2.25	1.77	1.47	0.48	3.59	1.42	1.26	0.6	0.39	0.52	3.79	1.3	0.39	0.42	3.8			23.8
50 X 30 X 5	4.5	3.78	2.96	1.71	0.74	9.41	2.88	1.58	2.54	1.12	0.82	10.4	1.66	1.56	0.64	12.2			12.2
50 X 40 X 5	4	4.27	3.35	1.56	1.07	10.4	3.02	1.56	5.89	2.01	1.18	13.3	1.76	3.02	0.84	14.4			21.4
60 X 30 X 5	4	4.74	3.37	2.15	0.68	15.6	4.04	1.9	2.6	1.12	0.78	16.5	1.96	1.69	0.61	17.9			21.4
80 X 40 X 6	7	6.89	5.41	2.85	0.88	44.9	8.73	2.55	7.59	2.44	1.05	47.6	2.63	4.9	0.84	52.9			27.2
80 X 40 X 8	7	9.01	7.07	2.94	0.95	57.6	11.4	2.53	9.68	3.18	1.04	60.9	2.6	6.41	0.84	67.2			27.2
90 X 60 X 6	7	8.69	6.82	2.89	1.41	71.7	11.7	2.87	25.8	5.61	1.72	82.8	3.09	4.6	1.3	87.8			35.4
100 X 50 X 8	9	11.5	8.99	3.59	1.13	116	18	3.18	19.5	5.04	1.31	123	3.28	12.6	1.05	133.8			35.4
100 X 50 X 10	9	14.1	11.1	3.67	1.2	141	22.2	3.16	23.4	6.17	1.29	149	3.25	15.5	1.04	163.8			35.8
120 X 80 X 12	11	27.7	17.8	4	2.03	323	40.4	3.77	114	19.1	2.25	371	4.04	66.1	1.71	402			20.2
130 X 65 X 10	11	18.6	14.6	4.65	1.45	321	38.4	4.15	54.2	10.7	1.71	340	4.27	35	1.37	368			44.6
130 X 65 X 12	11	22.1	17.3	4.74	1.53	376	45.5	4.12	63	12.7	1.69	397	4.24	41.2	1.37	416			44.6
150 X 75 X 11	10.5	21.6	18.6	5.37	1.65	545	56.6	4.8	93	15.9	1.98	578	4.95	59.8	1.59	644			28
150 X 100 X 12	13	28.7	27.6	4.89	2.42	650	64.2	4.76	232	30.6	2.84	749	5.1	132	2.15	788			28
150 X 100 X 14	13	33.2	26.1	4.97	2.5	744	74.1	4.73	264	35.2	2.82	856	5.07	152	2.14	862			26.2
160 X 80 X 12	13	27.5	21.6	5.72	1.77	720	70	5.11	122	19.6	2.1	763	5.26	78.9	1.69	819			57.9
160 X 80 X 14	13	31.8	25	5.81	1.85	823	80.7	5.09	139	22.5	2.09	871	5.23	90.5	1.69	918			55.8
180 X 90 X 10	14	26.2	20.6	6.28	1.85	880	75.1	5.8	151	21.2	2.4	934	5.97	97.4	1.93	999			69
180 X 90 X 12	14	31.2	24.5	6.37	1.93	1040	89.3	5.77	177	25.1	2.38	1100	5.94	114	1.92	1177			67
200 X 100 X 10	15	29.2	23	6.93	2.01	1220	93.2	6.46	210	26.3	2.68	1300	6.66	133	2.14	1374			77.4
200 X 100 X 12	15	34.8	27.3	7.03	2.1	1440	111	6.43	247	31.3	2.67	1530	6.63	158	2.13	1617			75.2



معايير اريبهى طرايح اعنماى كسنى :
طرايح در حل اتصال يك سركسنى 1

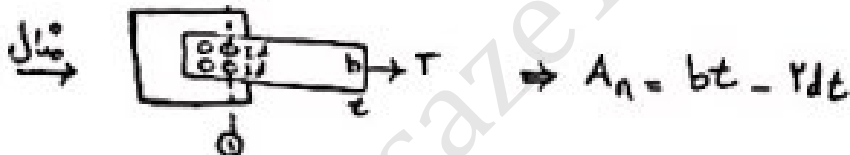


مفهوم مقطع خفج كل و خالص سركسنى :
مقطع خفج كل :
(A_g)

مقطع خالص :
(A_n)

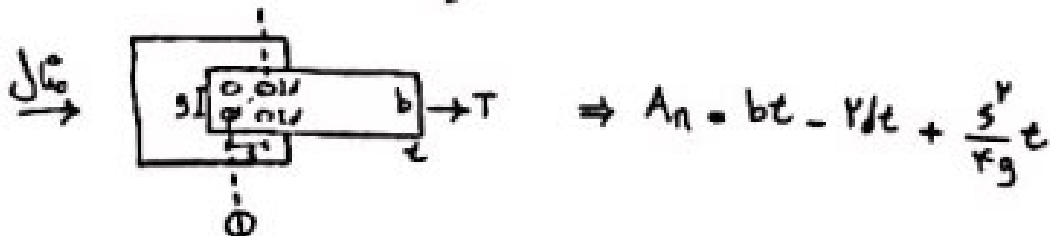
الف) برائى سبىرئى بىرئى مستقيم :

$$A_n = A_g - \sum_{i=1}^n d_i t_i$$



$$A_n = A_g - \sum d_i t_i + \sum \frac{s^2}{f_g} t$$

ب) برائى سبىرئى بىرئى مائل :



تذكار: حواسان به دابل بودن مقطع باسد.
تذكار 2: برائى طرايح A_{nmin} در حسابات در نظر گرفته مى شود.

garousi



نمبره پیچ	M12	M20	M22	M24	M27	M30	M36
قطر اسمی پیچ (d _b)	12 mm	20 mm	22 mm	24 mm	27 mm	30 mm	36 mm
قطر اسمی سوراخ استاندارد (d)	11 mm	19 mm	21 mm	23 mm	26 mm	29 mm	35 mm
قطر حسابی سوراخ (D)	12 mm	20 mm	22 mm	24 mm	27 mm	30 mm	36 mm

مساحت مقطع خالص مؤثر مرکزگشتی (A_e)

اتصال بیچی: $A_e = VA_n$

اتصال جوشی: $A_e = VA_g$

نمره ی جاسبگی ضریب ناخیز برشی (V):

نکته: ضریب V در جاسبگی سطح مؤثر، ضریب کاهشی بوده و مقدار این ضریب به مقدار و آرایش پیچ‌هایی که در اتصال شرکت دارند و همچنین طول فاصله جوش در اتصالات جوشی بستگی دارد.

۱) در اعضای کششی که تمام اجزای آنها برای انتقال نیروی کششی متصل شده اند، ضریب V برابر ۱ منظور می‌شود.

۲) در صورتی که سطحی مانند فادانی یا نبشی نیروی کششی را توسط قسمتی از اجزای سطح منتقل کند، V برابر اسف با:

$$V = 1 - \frac{\bar{\pi}}{L}$$

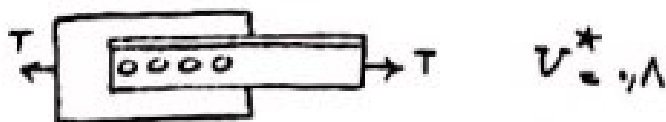
$\bar{\pi}$: نامedian منحنی اتصال تا مرکز سطح قسمت درگیر
 L: طول اتصال (طول فاصله جوش و یا طول بین اولین پیچ تا آخرین پیچ)
 در اعضای نبشی

۳) در نیرخ‌های تک که توسط یک بال متصل شده باشند، داریم:

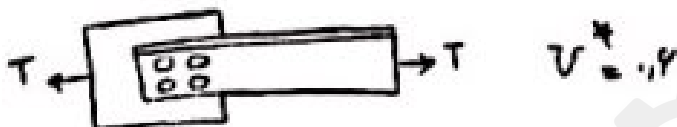
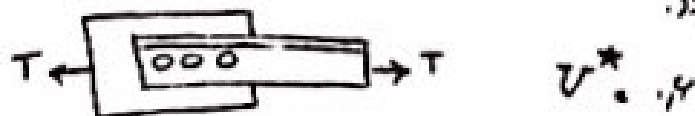
$$V = \max(1 - \frac{\bar{\pi}}{L}, V^*)$$

ضریب V* به صورت زیر تعیین می‌شود:

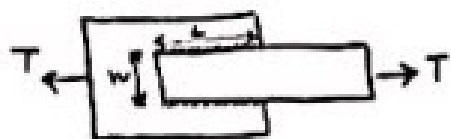
الف) در نیرخ‌های تک نبشی که دارای اجزای متصل نشده باشند و در آنل چهار وسیله ی اتصال در هر ردیف در امتداد نیرو وجود داشته باشد، ضریب V* برابر ۰.۸ می‌گردد.



ب) در نیرخ‌های تک نبشی که دارای اجزای متصل نشده باشند و فقط دو وسیله ی اتصال در هر ردیف در امتداد نیرو وجود داشته باشد، ضریب V* برابر ۰.۶ می‌گردد.



۴) در اتصال تصفه و ورق با جوش های طولی در دو لبه ی موازی، منربب ν طبق روابط زیر تعیین می گردد:



$$\begin{cases} w \leq L < 1.5w \rightarrow \nu = 0.75 \\ 1.5w \leq L < 2w \rightarrow \nu = 0.87 \\ L \geq 2w \rightarrow \nu = 1 \end{cases}$$

L : طول جوش
 w : پهنای ورق (فاصله ی بین خطوط جوش)

نکته: در ورق های اتصال (وصله) اعضای ضریبا حاد یا مهار بند حاکه تحت اثر نیروی کششی قرار می گیرند، داریم:

$$A_e = \min \{ A_n, \nu A_g \}$$

A_g : سطح مقطع کل ورق اتصال (وصله)

A_n : سطح مقطع خالص ورق اتصال (وصله)

ضرایب اعضای کششی:

حسابی مقاومت کششی در طول عضو:

(۱) برای تسلیم کششی روی سطح مقطع کل:

$$\left. \begin{aligned} T_{u1} &\leq \phi_t T_n \\ T_n &= F_y A_g \\ \phi_t &= 0.9 \end{aligned} \right\} \Rightarrow T_{u1} \leq 0.9 F_y A_g$$

(۲) برای گسیختگی کششی روی سطح مقطع خالص:

$$\left. \begin{aligned} T_{u2} &\leq \phi_t T_n \\ T_n &= F_u A_n \\ \phi_t &= 0.75 \end{aligned} \right\} \Rightarrow T_{u2} \leq 0.75 F_u A_n$$

$$T_u = \min (T_{u1}, T_{u2})$$

حسابی مقاومت کششی در محل اتصال عضو:

(۱) برای تسلیم کششی روی سطح مقطع کل:

$$\left. \begin{aligned} T_{u1} &\leq \phi_t T_n \\ T_n &= F_y A_g \\ \phi_t &= 0.9 \end{aligned} \right\} \Rightarrow T_{u1} \leq 0.9 F_y A_g$$

(۲) برای گسیختگی کششی در سطح خالص بزرگتر منبر در محل اتصال:

$$\left. \begin{aligned} T_{u2} &\leq \phi_t T_n \\ T_n &= F_u A_e \\ \phi_t &= 0.75 \end{aligned} \right\} \Rightarrow T_{u2} \leq 0.75 F_u A_e \quad , \quad A_e = \nu A_n$$



مقاومت کششی برای ورق اتصال (رسم) :

(۱) برای تعیین کششی روی سطح مقطع کل :

$$\left. \begin{array}{l} T_{u1} \leq \phi_t T_n \\ T_n = F_y A_g \\ \phi_t = 0.9 \end{array} \right\} \Rightarrow T_{u1} \leq 0.9 F_y A_g$$

\$A_g\$: سطح مقطع کل ورق اتصال

(۲) برای گسیختگی کششی در سطح خالص بر اثر حضور در محل اتصال :

$$\left. \begin{array}{l} T_{u2} \leq \phi_t T_n \\ T_n = F_u A_e \\ \phi_t = 0.75 \end{array} \right\} \Rightarrow T_{u2} \leq 0.75 F_u A_e \quad , \quad A_e = \min \{ A_n , 0.85 A_g \}$$

\$A_n\$: سطح خالص خالص ورق اتصال

کنترل لانه‌ای اعضای کششی :

\$L\$: طول عضو بر حسب طول متر

\$r_{min}\$: شعاع گیرایشین حداقل

$$\frac{L}{r_{min}} < \lambda_{01}$$

مقاومت تعداد پیچ لازم در اتصال به کمک مقاومت هر پیچ

$$T_u \leq n A F_y$$

$$A = \frac{T_u}{F_y}$$

گواهی



طراحی اعضای فشاری:

مضامین اولیه در رابطه با اعضای فشاری:

بارکمانشی ستونها:

k: ضریب طول مؤثر ستون

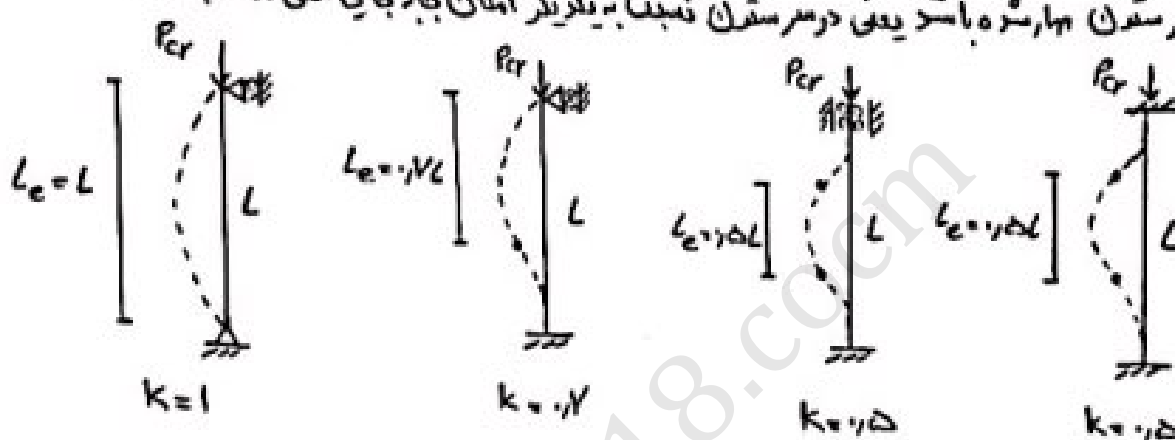
$$P_{cr} = \frac{\pi^2 EI}{L_e^2} \quad , \quad L_e = kL$$

* کمانش حول محور ضعیف اتفاق می افتد.

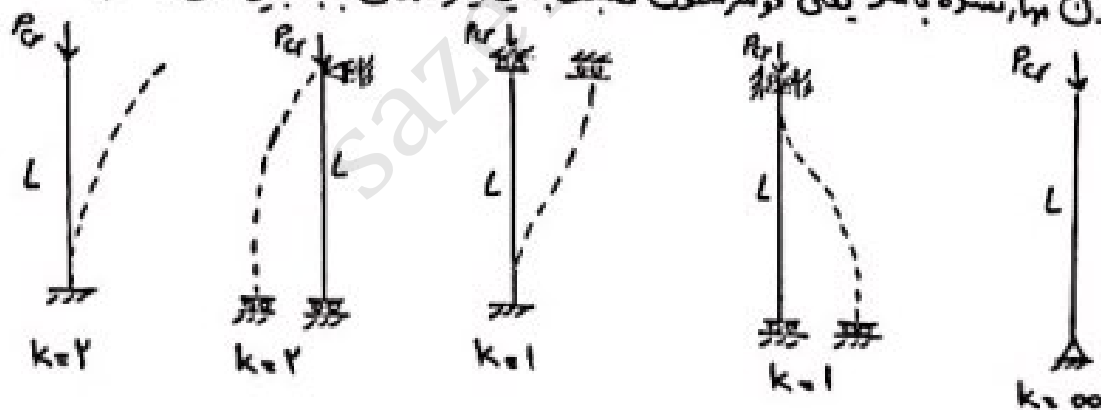
ضریب طول مؤثر (k):

۱) ضریب طول مؤثر ستونهای با شرایط یکدگانه ایده آل:

الف) اگر ستون مهار شده باشد یعنی در هر دو سر نسبت به یکدیگر امکان جابه جایی افقی نداشته باشد.



ب) اگر ستون مهار نشده باشد یعنی در هر دو سر نسبت به یکدیگر امکان جابه جایی افقی داشته باشد.



۲) ضریب طول مؤثر ستون های دابل قاب:

الف) ضریب طول مؤثر در یک قاب مهار شده: برای تعیین گام های زیر را طی می کنیم (k < 1)

$$G_A = \frac{\sum (\frac{EI}{L})_{ستون}}{\sum n (\frac{EI}{L})_{تیر}} \quad , \quad G_B = \frac{\sum (\frac{EI}{L})_{ستون}}{\sum n (\frac{EI}{L})_{تیر}}$$

گام ۱) تعیین ضرایب G_A و G_B :
 E: مدول الاستیسیته فولاد
 I: مان اینرسی تیرها و ستونها حول محور مورد بررسی کمانش (محور ضعیف)
 L: طول اعضا

n: ضریب است که بیان کننده شرایط اتصالات در دو طرف است.

تقریب: ضرایب G_A و G_B نشان دهندهٔ سختی نسبی ستون‌ها به نیرها در نقاط A, B می‌باشند.

گام ۲) جاسدی ضریب طول مؤثر:

با استفاده از نمودگان مسدود ۲۹۵ بحث دهم

برای استفاده از این نمودگان ابتدا ضرایب G_A و G_B را بر روی محورهای سمت چپ و راست با خطی به یکدیگر متصل می‌کنیم. حل نقاط خط با محور مساوی برابر ضریب طول مؤثر است.

ب) ضریب طول مؤثر در یک تان چهارنقطه: برای تعیین گام‌های زیر رابطه‌ی کنیم: $(k \geq 1)$

گام ۱) تعیین ضرایب G_A و G_B :

$$G_A = \frac{\sum \left(\frac{EI}{L} \right)_{ستون}}{\sum n \left(\frac{EI}{L} \right)_{تیر}} \quad , \quad G_B = \frac{\sum \left(\frac{EI}{L} \right)_{ستون}}{\sum n \left(\frac{EI}{L} \right)_{تیر}}$$

گام ۲) جاسدی ضریب طول مؤثر:

با استفاده از نمودگان مسدود ۲۹۷ بحث دهم و یا با استفاده از رابطه‌ی زیر:

$$k = \sqrt{\frac{1.4G_A G_B + 2(G_A + G_B) + 7.5}{G_A + G_B + 7.5}}$$

نکات تکمیلی مربوط به ضریب G :

- ۱) مقدار ضریب G برای تکیه‌گاه مصلی از نظر تقریبی و نهایتی می‌باشد ولی در عمل به علت گیرداری کمی که این نوع از تکیه‌گاه‌ها دارند مقدار این ضریب را در حسابات برابر $G = 10$ در نظر می‌گیریم.
- ۲) مقدار ضریب G برای تکیه‌گاه گیردار از نظر تقریبی صفر می‌باشد ولی در عمل به علت سختی فرعی که این نوع تکیه‌گاه‌ها دارند مقدار این ضریب را در حسابات برابر $G = 1$ در نظر می‌گیریم.

۳) برای ضریب n داریم:

شرایط تکیه‌گاهی	میان‌نقطه (با انتقال جانمی)	میان‌نقطه (بدون انتقال جانمی)
گیردار کامل تکیه‌گاهی	$\frac{2}{3}$	۲
گیردار تکیه به ستون	۱	۱
مصل	$\frac{1}{3}$	$\frac{2}{3}$
سازار	۰	۰

garusi



نسبت لنگری در ستون ها:

$$\lambda = \frac{KL}{r}$$

۳: شش برابری

۴: طول اعضا

تذکره: نسبت لنگری در اعضا در اعضای ضرایب بنیاد از ۲۰۰ تجاوز نکند.

توجه: از بین مقادیر محاسبه شده برای λ باید بیشترین آنها به عنوان لنگری λ در نظر گرفته شود.

لنگری اعضا ضرایب ضرایب:

حدهای اولیه:

$$ST37 \rightarrow f_y = 24 \frac{kg}{cm^2} \text{ و } f_u = 37 \frac{kg}{cm^2} \Rightarrow F_{cr} = (0.7 \text{ تا } 0.85) f_y$$

$$ST52 \rightarrow f_y = 34 \frac{kg}{cm^2} \text{ و } f_u = 52 \frac{kg}{cm^2} \Rightarrow F_{cr} = (0.7 \text{ تا } 0.85) f_y$$

$$\left. \begin{aligned} P_u &\leq \phi_c P_n \\ P_n &= F_{cr} A_g \end{aligned} \right\} \Rightarrow P_u \leq \phi_c F_{cr} A_g \text{ و } \phi_c = 0.9$$

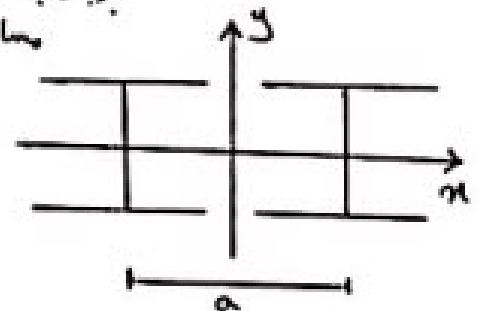
بند (۱-۲-۴-۱): شرط اول - مقاومت:

$$\lambda = \left(\frac{KL}{r}\right)_{max} < 200$$

بند (۱-۲-۴-۳): شرط دوم - صلبيت:

چونگه بند مقطع دوتایی می شود و مساحت دو برابر می شود.

$$I'_{xx} = I'_y \Rightarrow 2I_{xx} = 2(I_y + A\left(\frac{a}{2}\right)^2)$$



$$A' = 2A \text{ و } r'_{xx} = \sqrt{\frac{I'_{xx}}{A'}} \text{ و } r'_y = \sqrt{\frac{I'_y}{A'}}$$

I_{xx} , I_y و A مربوط به مقطع تک پروفل می باشد.

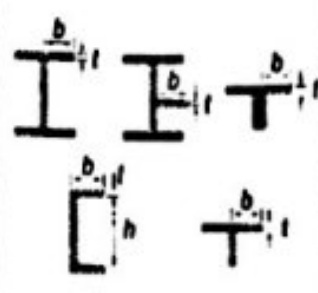
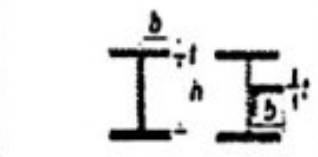
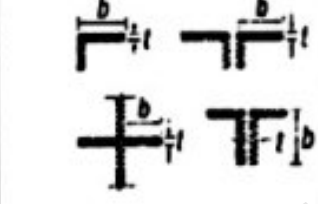
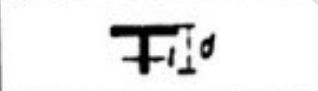
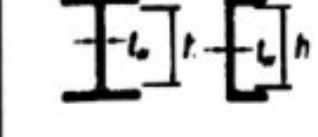

کنترل گمانش موضعی در اعضای تحت نیروی فشاری (کنترل لنگری):

الف) مقطع با اجزای غیرلاغر: اگر نسبت پهنا به ضخامت اجزای مقطع از λ_r تجاوز نکند.

ب) مقطع با اجزای لاغر: اگر نسبت پهنا به ضخامت اجزای مقطع از λ_r بیشتر شود.



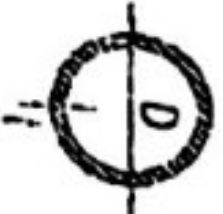


جدول ۱۰-۲-۱ نسبت‌های بهما به ضخامت اجزای فشاری تقویت نشده در اعضای تحت اثر فشار محوری

مثال‌های نمونه	حداکثر نسبت بهما به ضخامت λ (لاغر اغیر لاغر)	نسبت بهما به ضخامت	شرح اجزا	حالت
		$\frac{1}{56} \sqrt{\frac{E}{F_y}}$	b/t	پل‌های مقاطع A شکل مورد شده، ورق‌های سرورزده از مقاطع A شکل مورد شده، ساق‌های برجسته جهت سبکی با اتصال پیوسته پل‌های مقاطع فولادی و پل‌های مقاطع سبکی
	$\frac{1}{64} \sqrt{\frac{E}{F_y}}$	b/t	پل‌های مقاطع A شکل ساخته شده از ورق و ورق‌ها با ساق‌های نبشی بیرون زده از مقاطع A شکل ساخته شده از ورق	۲
	$\frac{1}{45} \sqrt{\frac{E}{F_y}}$	b/t	ساق‌های نبشی‌های تک ساق‌های نبشی‌های توپل دارای جداکننده (لقمه) و سایر اجزای تقویت شده	۳
	$\frac{1}{75} \sqrt{\frac{E}{F_y}}$	d/t	تیغه (چن) مقاطع سبکی	۴
	$\frac{1}{44} \sqrt{\frac{E}{F_y}}$	h/t_w	جان مقاطع A شکل با دو محور فلان و جان مقاطع فولادی	۵
	$\frac{1}{40} \sqrt{\frac{E}{F_y}}$	b/t	پل‌های مقاطع توخالی مستطیلی شکل (ISS) و جبهه‌ای با ضخامت پکنواخت	۶



جدول ۱۰-۲-۲ نسبت‌های پهنا به ضخامت اجزای فشاری تقویت شده در اعضای تحت اثر فشار محوری

مقال‌های نمونه	حداکثر نسبت پهنا به ضخامت، λ (لاغر/غیر لاغر)		نسبت پهنا به ضخامت	شرح اجزا	حالت
	$\frac{1}{4} \cdot \sqrt{\frac{E}{F_y}}$		b/t	ورق‌های پوششی و ورق‌های دینامیک در حد فاصل خطوط جوش یا پیچ	۷
	$\frac{1}{4} \sqrt{\frac{E}{F_y}}$		b/t	سایر اجزای فشاری تقویت‌شده	۸
	$\frac{1}{11} \frac{E}{F_y}$		D/t	مقاطع توخالی دایره‌ای شکل	۹



اصلاح لانتری (انفعال مقلعات بست به مقطع به صورت جوشی و یا پیچی با عملکرد اصلگاری) :
 * برای مقاطع دایره ای کنترل می شود.

$$\left(\frac{KL}{r}\right)_x = \left(\frac{KL}{r}\right)_y$$

ناسازی بین بسته ها
 بینیم شاعر برابری: r_x

$$\frac{k_x}{r_x} \leq \frac{k_y}{r_y} \max \{ \lambda_x, \lambda_y \}_m \rightarrow \alpha = ? \rightarrow \text{نصف عضو}$$

$$\left\{ \begin{array}{l} \frac{k_x}{r_x} > \frac{k_y}{r_y} \rightarrow \text{اصلاح نیاز دارد} \rightarrow \left(\frac{KL}{r}\right)_m = \sqrt{\left(\frac{KL}{r_x}\right)^2 + \left(\frac{k_y}{r_y}\right)^2} \\ \frac{k_x}{r_x} \leq \frac{k_y}{r_y} \rightarrow \text{اصلاح نیاز ندارد} \rightarrow \left(\frac{KL}{r}\right)_m = \left(\frac{KL}{r}\right)_x \end{array} \right.$$

- | | | |
|------------------------|------|---------|
| برای نبشی پشت به پشت | ۰٫۱۵ | } = k_i |
| برای فولادی پشت به پشت | ۰٫۷۵ | |
| برای سایر مقاطع | ۰٫۸۲ | |

محاسبه مقاومت فضوی با صدی معیارهای کمانش :
 گام ۱) تعیین حالت های مدی کمانش معرفشاری بر اساس جدول صنعتی بعد
 گام ۲) محاسبی مقدار F_e برای حالت های مورد نظر
 گام ۳) محاسبی مقدار F_{cr} :

$$\lambda_{max} = \left(\frac{KL}{r}\right)_{max} \leq 4.71 \sqrt{\frac{E}{f_y}} \Rightarrow F_{cr} = \left[0.658 \frac{f_y}{F_e} \right] f_y \quad \left(\frac{E}{cm^2} = 21 \times 10^4 \right)$$

$$\lambda_{max} = \left(\frac{KL}{r}\right)_{max} > 4.71 \sqrt{\frac{E}{f_y}} \Rightarrow F_{cr} = 0.877 F_e \quad (ب)$$

گام ۴) کوپترین مقدار F_{cr} بین حالت های مدی مورد نظر به عنوان حالت بحرانی در نظر گرفته می شود.


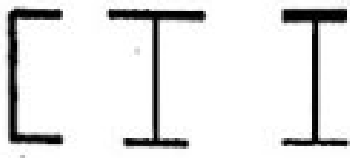


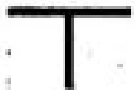
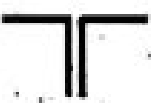


$$P_n = F_{cr} A_g \quad (۵ گام)$$

$$\phi_c = 0.9, \quad P_u \leq \phi_c P_n \quad (۶ گام)$$

gokusi



جدول ۱۰-۲-۴-۱ حالت یا حالت‌های حدی حاکم بر طراحی اعضای فشاری برای مقاطع مختلف بدون اجزای لایغر

شماره	نوع مقطع	شکل مقطع	حالت یا حالت‌های حدی حاکم بر طراحی
۱	• مقطع A شکل با دو محور تقارن		• کماتش خمشی • کماتش پیچشی
۲	• مقطع A شکل با یک محور تقارن • مقاطع ناودانی		• کماتش خمشی • کماتش خمشی - پیچشی
۳	• مقاطع صلبی • مقاطع مرکب		• کماتش خمشی • کماتش پیچشی
۴	• مقاطع توخالی مستطیلی شکل		• کماتش خمشی
۵	• مقاطع توخالی دایره‌ای شکل		• کماتش خمشی
۶	• مقاطع سه‌بری		• کماتش خمشی • کماتش خمشی - پیچشی
۷	• مقاطع مرکب از دو نیم‌رخ نبشی پشت به پشت		• کماتش خمشی • کماتش خمشی - پیچشی
۸	• مقاطع نبشی تک		• الزامات بند ۱۰-۲-۴-۶
۹	• مقاطع نوپر		• کماتش خمشی
۱۰	• مقاطع بدون محور تقارن • غیر از نبشی‌های تک		• کماتش خمشی - پیچشی



حالت مدی کمانش خمشی :

$$F_c = \frac{\pi^2 E}{\left(\frac{kL}{r}\right)^2}$$

حالت مدی کمانش پیچشی :

$$F_c = \left[\frac{\pi^2 E C_w}{(k_p L)^2} + GJ \right] \left(\frac{1}{I_x + I_y} \right)$$

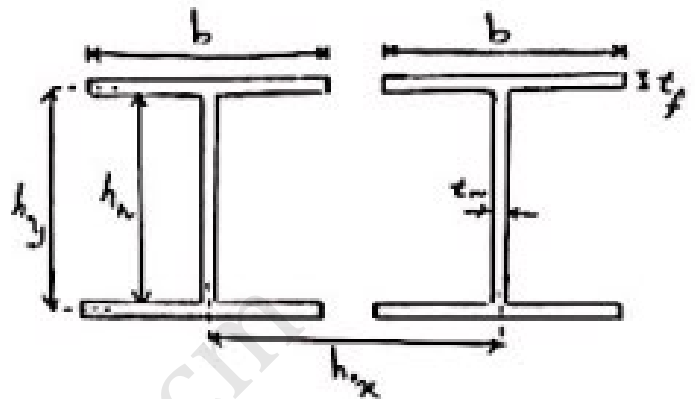
(ثابت پیچشی) $J = \sum_{i=1}^n \frac{bt^3}{12}$

(ثابت ناپیچشی) $C_w = I_y \left(\frac{h_x}{2} \right)^2 + I_x \left(\frac{h_y}{2} \right)^2$

$$I_y = \frac{t_f \times b^3}{12}$$

$$I_x = \frac{t_w \times h_w^3}{12}$$

یا مترصان استفاده شده در رابطه بالا :



(مدول الاستیسیته برشی) $G = \frac{E}{2.4} = 1.7692, 31$

مکان اینرسی حول محور اصلی : I_x و I_y

مغزین طول مؤثر برای کمانش پیچشی بر تراز به طور حتمانه کاراته برابر گرفته شود. : k_p

حالت مدی کمانش خمشی - پیچشی :

(الف) برای مقاطع بایک محور تقارن که محور تقارن آنها با یک نامگذاری شده باشد.

$$F_c = \left(\frac{F_{cy} + F_{cz}}{2H} \right) \left[1 - \sqrt{1 - \frac{4 F_{cy} F_{cz} H}{(F_{cy} + F_{cz})^2}} \right]$$

(ب) برای مقاطع نامتقارن

$$(F_c - F_{cx})(F_c - F_{cy})(F_c - F_{cz}) - F_c^2 (F_c - F_{cy}) \left(\frac{x_c}{r_c} \right)^2 - F_c^2 (F_c - F_{cx}) \left(\frac{y_c}{r_c} \right)^2 = 0$$

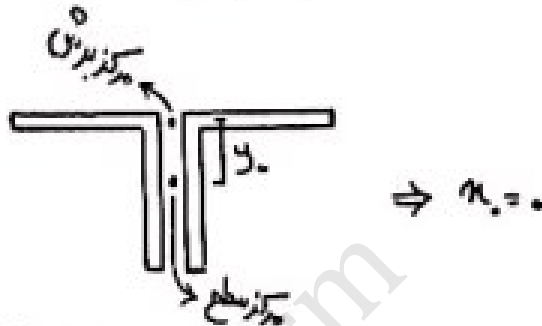
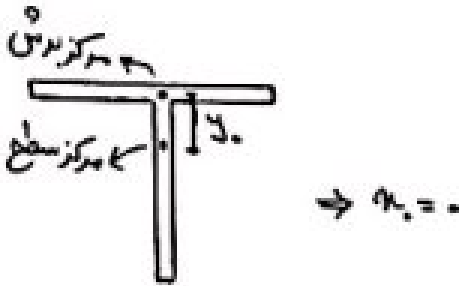
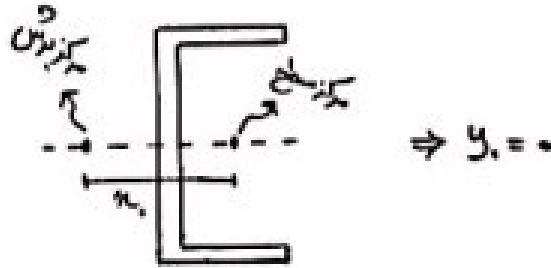
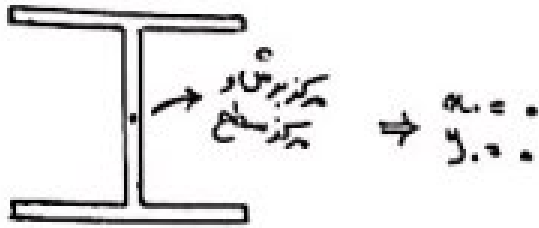
که در رابطه بالا F_c از درجه سوم است و کوچکترین ریشه را انتخاب می کنیم.



\bar{y} : شعاع رابراین نقطه نسبت به مرکز برش

x_c و y_c : مختصات مرکز برش نسبت به مرکز سطح

$$\bar{r}_o^2 = x_c^2 + y_c^2 + \frac{I_{xx} + I_{yy}}{A_g}$$



مرکز برش: نقطه‌ای فرضی که اگر بار خارجی به آن نقطه اعمال شود لنگر پیچشی مقطع صفر می‌شود.

$$H = 1 - \frac{x_c^2 + y_c^2}{\bar{r}_o^2}$$

$$F_{ex} = \frac{\pi^2 E}{\left(\frac{k_x L}{r_x}\right)^2}$$

$$F_{ey} = \frac{\pi^2 E}{\left(\frac{k_y L}{r_y}\right)^2}$$

F_{ex} : تنش کمانشی خمشی الاستیک حول محور اصلی x

F_{ey} : تنش کمانشی خمشی الاستیک حول محور اصلی y

r_x و r_y : شعاع رابراین حول محورهای اصلی x و y

F_{ez} : تنش کمانشی پیچشی الاستیک

$$F_{ez} = \left[\frac{\pi^2 E C_w}{(k_z L)^2} + GJ \right] \frac{1}{A_g \bar{r}_o^2}$$



برای اعضای فشاری با خنثی سبکی و نسبت جفت، نیازی به محاسبه مقدار F_c نیست و با مقدار F_{cr} درجه اول تمام زیر تعیین می‌گردد.

گام ۱) برای خنثی سبکی، نسبت لانه‌ای به صورت $(\frac{KL}{r})_x$ ، یعنی طول بحر تقارن x محاسبه شود.
برای خنثی سبکی جفت نسبت لانه‌ای اصلاح شده به صورت $(\frac{KL}{r})_m$ ، $\frac{KL}{r}$ از رابطه‌ی زیر به دست می‌آید.

$$(\frac{KL}{r})_m = \sqrt{(\frac{KL}{r})_x^2 + (\frac{e}{r})^2}$$

گام ۲) بر اساس نسبت لانه‌ای تمام نابل، ابتدا مقدار F_c از رابطه‌ی $F_c = \frac{\pi^2 E}{(\frac{KL}{r})^2}$ به دست می‌آید و سپس مقدار F_{cr} از رابطه‌ی زیر تعیین می‌شود که این مقدار را F_{cry} می‌نامیم.

$$\lambda \leq 4.71 \sqrt{\frac{E}{f_y}} \Rightarrow F_c = \left[0.658 \frac{f_y}{F_c} \right] f_y$$

$$\lambda > 4.71 \sqrt{\frac{E}{f_y}} \Rightarrow F_c = 0.877 F_e$$

گام ۳) مقدار F_{crz} از رابطه‌ی زیر تعیین می‌شود.

$$F_{crz} = \frac{0.5}{A_g \bar{r}^2}$$

گام ۴) اکنون مقدار F_{cr} از رابطه‌ی زیر محاسبه می‌شود.

$$F_{cr} = \left(\frac{F_{cry} + F_{crz}}{2H} \right) \left[1 - \sqrt{1 - \frac{4 F_{cry} F_{crz} H}{(F_{cry} + F_{crz})^2}} \right]$$

gordari



طراحی اعضای خمشی :

مفاهیم اولیه خمشی :

برای یک مقطع دایره ای تحت اثر لنگر خمشی، لنگران تسلیم، پلاستیک و منبسط شکل به صورت زیر تعریف می شوند:

$$\frac{M_p}{S} = S.F. : \text{منبسط شکل} \quad \text{و} \quad M_p = F_y S : \text{لنگر پلاستیک} \quad \text{و} \quad F_y S = M_y : \text{لنگر تسلیم}$$

یا متر S اساس مقطع الاستیک و یا متر J اساس مقطع پلاستیک نام دارد.

ضریب اصلاح کماتش پیچشی - جانبی (C_b) :

برای اعضای با مقطع دایره ای یک محور تقارن و با انتضای ساده و خمش حول محور قوی و برای کلیه اینها با مقطع دایره ای دو محور تقارن، ضریب اصلاح کماتش پیچشی - جانبی (C_b) در نمودار لنگر خمشی غیر یکگانه در مدافیل دو مقطع مهار شده از رابطه زیر تعیین می شود:

$$C_b = \frac{12.5 M_{max}}{2.5 M_{max} + 3M_A + 4M_B + 3M_C}$$

- M_{max} : مقدار حلقه لنگر خمشی حداکثر در مدافیل دو مقطع مهار شده
- M_A : مقدار حلقه لنگر خمشی در نقطه 1/4 در مدافیل دو مقطع مهار شده
- M_B : مقدار حلقه لنگر خمشی در نقطه 1/2 در مدافیل دو مقطع مهار شده
- M_C : مقدار حلقه لنگر خمشی در نقطه 3/4 در مدافیل دو مقطع مهار شده

تبصره ۱: برای تیرهای طره ای که انتهای آزاد آنها مهار شده است، C_b مساوی واحدی باشد.

تبصره ۲: برای اعضای با مقطع دایره ای یک محور تقارن و با انتضای مضاعف، ضریب اصلاح کماتش پیچشی - جانبی (C_b) باید به شرح زیر با ضریب R_M اصلاح شود. دقت کنید که در صورت مقدار C_b اصلاح شده نباید از ۳ بزرگتر در نظر گرفته شود.

$$R_M = 1.5 + 2 \left(\frac{I_{y min}}{I_y} \right)^2$$

I_y : میان اینرسی حول اصلی y

I_{y min} : میان اینرسی بال بنیفا تر (کوچکتر) مقطع حول محور اصلی y

تبصره ۳: برای اعضای خمشی با مقطع نامتقارن، C_b را می توان به طور حافظه کارانه مساوی راد در نظر گرفت.



شعاع ژیراسیون مؤثر در کمانش پیچشی - جانبی (r_{cs}) :
 رابطه کلی برای محاسبه این پارامتر به صورت زیر می باشد:

$$r_{cs} = \sqrt{\frac{I_y c_w}{S_x}}$$

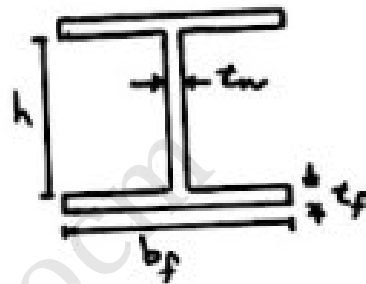
چند حالت خاص:

(۱) برای مقاطع I شکل با دو محور تقارن:

$$r_{cs} = \sqrt{\frac{I_y h}{2 S_x}}$$

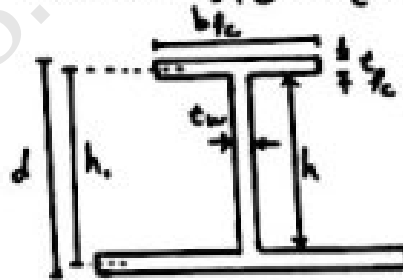
(۲) برای مقاطع I شکل با دو محور تقارن به صورت حافظه کارانه:

$$r_{cs} = \frac{b_f}{\sqrt{\kappa \left(1 + \frac{h t_w}{2 b_f t_f} \right)}}$$



(۳) برای مقاطع I شکل با یک محور تقارن:

$$r_{cs} = \frac{b_{fc}}{\sqrt{\kappa \left(\frac{h_c}{d} + \frac{1}{4} a_w \frac{h_c^2}{h_c d} \right)}}$$



I_y : ممان اینرسی مقطع حول محور (محور ضعیف)

S_x : اساس مقطع الاستیک حول محور (محوری)

c_w : ثابت تابیدگی

b_{fc} : پهنای بال فشاری

t_{fc} : ضخامت بال فشاری

h_c : مرکز تا مرکز بال ها

gordasi



$$\left. \begin{array}{l} M_u \leq \phi_b M_n \\ M_n = M_p = Z F_y \end{array} \right\} \Rightarrow M_u \leq \phi_b F_y Z \quad , \quad \phi_b = 0.9$$

کنترل کماتش موضعی در اعضای تحت لنگر خمشی (کنترل منشرده):

- if $\lambda < \lambda_p \rightarrow$ مقطع منشرده
 if $\lambda_r > \lambda > \lambda_p \rightarrow$ مقطع غیر منشرده
 if $\lambda > \lambda_r \rightarrow$ مقطع با اجزای نازک

در جدول منحنی بعد پیا امتزجایی وجود دارد که به صورت زیر تعریف می شوند:
 مقدار k_c از رابطه زیر تعیین می گردد:

$$0.175 \leq k_c = \frac{4}{\sqrt{\frac{h}{t_w}}} \leq 0.172$$

برای ضعیف حول محور فرعی در مقاطع ۳ ضلعی ساخته شده از ورق با جان منشرده و غیر منشرده، مقدار F_L از رابطه زیر تعیین می گردد.

$$\frac{S_{xt}}{S_{xc}} \geq 0.7 \rightarrow F_L = 0.7 F_y$$

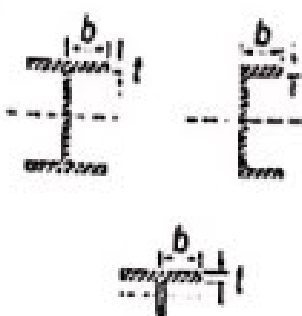
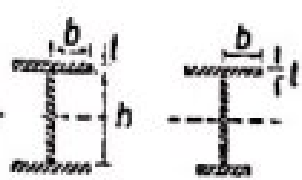

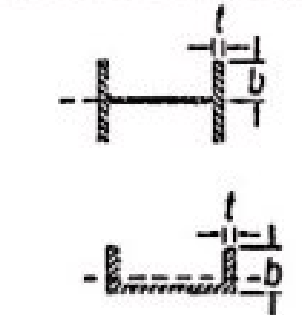

$$\frac{S_{xt}}{S_{xc}} < 0.7 \rightarrow F_L = \frac{S_{xt}}{S_{xc}} F_y$$

S_{xt} : اساس مقطع الاستیک نسبت به بال کششی

S_{xc} : اساس مقطع الاستیک نسبت به بال فشاری

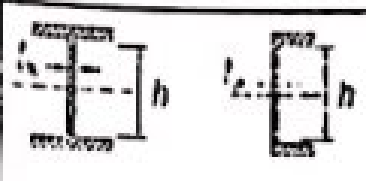
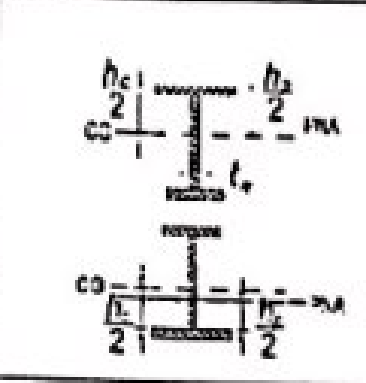
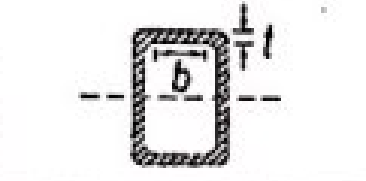
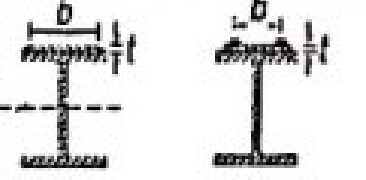
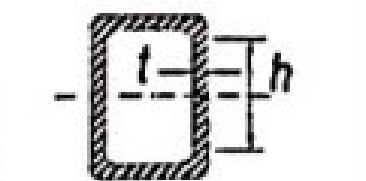
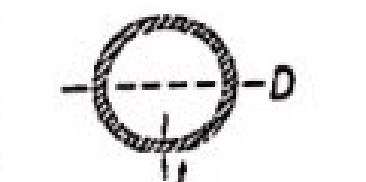
لنگرهای خادم مقطع شامل M_y : لنگر تسلیم در زمین تار و M_p : لنگر خمشی پلاستیک

جدول ۱۰-۲-۲-۳ نسبت‌های پهنا به ضخامت اجزای فشاری تقویت نشده در اجزای تحت اثر خمشی

مثال‌های نمونه	حداکثر نسبت پهنا به ضخامت		نسبت پهنا به ضخامت	شرح اجزا	حالت
	(لاغر / غیر فشرده) λ	(غیر فشرده / فشرده) λ_p			
	$1/\sqrt{E/F_y}$	$0.38\sqrt{E/F_y}$	b/t	بازهای مقاطع I شکل نورد شده، ناودانی‌ها و سبزی‌ها	۱۰
	$0.95\sqrt{K_c E/F_L}$	$0.38\sqrt{E/F_y}$	b/t	بال‌های مقاطع I شکل ساخته شده از ورق یا یک یا دو محور تقارن	۱۱
	$0.91\sqrt{E/F_y}$	$0.54\sqrt{E/F_y}$	b/t	ساق‌های نبشی‌های تک	۱۲
	$1/\sqrt{E/F_y}$	$0.38\sqrt{E/F_y}$	b/t	بال‌های کلیه مقاطع I شکل و ناودانی تحت اثر خمشی حول محور ضعیف	۱۳
	$1.03\sqrt{E/F_y}$	$0.82\sqrt{E/F_y}$	d/t	تینه (جان) مقاطع سبزی	۱۴



جدول ۱۰-۲-۲- نسبت‌های به‌پنا به ضخامت اجزای فشاری تقویت شده در اعضای تحت اثر خمش

مثال‌های نمونه	حداکثر نسبت به‌پنا به ضخامت		نسبت به‌پنا به ضخامت	شرح اجزا	حالت
	λ (غیرفشرده)	λ_p (غیرفشرده / فشرده)			
	$5/7 \cdot \sqrt{\frac{K}{F_y}}$	$3/76 \sqrt{\frac{E}{F_y}}$	h/t_w	جان مقاطع I شکل با دو محور تقارن و جان مقاطع ناردانی	۱۵
	$5/7 \cdot \sqrt{\frac{E}{F_y}}$	$\frac{h_c \sqrt{\frac{E}{h_p F_y}}}{(0.51 \frac{M_x}{M_y} - 0.9)^2} \leq \lambda_r$	h_c/t_w	جان مقاطع I شکل با یک محور تقارن	۱۶
	$1/4 \cdot \sqrt{\frac{K}{F_y}}$	$1/12 \sqrt{\frac{K}{F_y}}$	b/t	پل‌های مقاطع توخالی مستطیلی شکل (HSS) و جمع‌های با ضخامت یکنواخت	۱۷
	$1/4 \cdot \sqrt{\frac{E}{F_y}}$	$1/12 \sqrt{\frac{E}{F_y}}$	b/t	ورق‌های پوششی و ورق‌های دی‌پل‌راکم در حد فاصل خطوط جوش یا پیچ	۱۸
	$5/7 \cdot \sqrt{\frac{E}{F_y}}$	$2/22 \sqrt{\frac{E}{F_y}}$	h/t	جان‌های مقاطع توخالی مستطیلی شکل (HSS) و جمع‌های	۱۹
	$0.7 \frac{E}{F_y}$	$0.31 \frac{E}{F_y}$	D/t	مقاطع توخالی دایره‌ای شکل	۲۰



جدول ۱۰-۲-۵-۱ انتخاب بند مربوط به تعیین مقاومت خمشی اسمی

بند مربوطه	مقطع	لاغری بال	لاغری جان	حالت حدی
۲-۵-۲-۱۰		C	C	Y, LTB
۳-۵-۲-۱۰		NC	C	LTB, FLB
۴-۵-۲-۱۰		C, NC	C, NC	Y, LTB, FLB, TFY
۵-۵-۲-۱۰		C, NC	S	Y, LTB, FLB, TFY
۶-۵-۲-۱۰		C, NC	N/A	Y, FLB
۷-۵-۲-۱۰		C, NC	C, NC	Y, FLB, WLB
۸-۵-۲-۱۰		N/A	N/A	Y, LB
۹-۵-۲-۱۰		C, NC	N/A	Y, LTB, FLB
۱۰-۵-۲-۱۰		N/A	N/A	Y, LTB, LLB
۱۱-۵-۲-۱۰		N/A	N/A	Y, LTB
۱۲-۵-۲-۱۰	مقاطع نامستقرن به غیر از نبش تک	N/A	N/A	کلیه حالت‌های حدی

Y = تسلیم
 LTB = کماتش پهنجی - جانبی
 FLB = کماتش موضعی بال
 WLB = کماتش موضعی جان
 TFY = تسلیم کنشی بال
 LLB = کماتش موضعی ساق
 LB = کماتش موضعی
 C = فشرده
 NC = غیر فشرده
 S = لاغر
 N/A = کاربرد ندارد

۱) مقاومت خمشی اعضای با مقطع I شکل منفرجه با دو محور تقارن و با مقطع ناودان منفرجه تحت دهنش هر دو محور
الف) حالت حدی تسلیم (۱):

$$M_n = M_p = F_y Z_x$$

M_p : لنگر پلاستیک

F_y : تنش تسلیم فولاد

Z_x : اساس مقطع پلاستیک هر دو محور

ب) حالت حدی کمانش پیچشی - جانبی (LTB):

۱) اگر $L_b \leq L_p$ باشد، لزومی به در نظر گرفتن کمانش پیچشی - جانبی نمی باشد.

۲) برای $L_p \leq L_b \leq L_r$:

$$M_n = C_b \left[M_p - (M_p - 0.7 F_y S_x) \left(\frac{L_b - L_p}{L_r - L_p} \right) \right]$$

۳) برای $L_b > L_r$:

$$M_n = F_{cr} S_x \leq M_p$$

توجه: به طور کلی در هنگام طراحی یک عضو باید حالت بحرانی تر در طراحی منظر شود و این یعنی مقدار کمتر ظرفیت عضو باید مد نظر قرار گیرد. پس در طراحی تیرهای مورد نظر از روش فوق باید مقدار M_n بینیم بین حالت های حدی حاکم در نظر گرفته شود.

پارامترهای استفاده شده در روابط فوق:

L_b : فاصله ی بین دو مقطع از طول عضو که در آن مقاطع از تغییر مکان جانبی بال فشاری یا از پیچش کل مقطع جلوگیری شده است فاصله تکیه گاه های جانبی نامگذاری می شود.

L_p : طول مهار نشده ی عضو مطابق رابطه ی زیر که مرز بین حالت حدی تسلیم و حالت حدی کمانش پیچشی - جانبی غیر ارتجاعی را مشخص می کند.

$$L_p = 1.77 r_y \sqrt{\frac{E}{F_y}}$$

L_r : طول مهار نشده ی عضو مطابق رابطه ی زیر که مرز بین حالت حدی کمانش پیچشی - جانبی غیر ارتجاعی و ارتجاعی را مشخص می کند.

$$L_r = 1.95 r_{ts} \frac{E}{0.7 F_y} \sqrt{\frac{J_c}{S_x h_x} + \sqrt{\left(\frac{J_c}{S_x h_x} \right)^2 + 1.77 \left(\frac{0.7 F_y}{E} \right)^2}}$$



F_{cr} : تنش کماتس الاستیک پیچشی - جانبی - جانک انعطاف، اطراف r_p :

$$F_{cr} = \frac{c_b \pi^2 E}{\left(\frac{L_b}{r_{cs}}\right)^2} \sqrt{1 + 0.0018 \frac{3c}{2k h} \left(\frac{L_b}{r_{cs}}\right)^2}$$

c : ضریب است ضلع، در ابتدا زیر :

c = 1 برای ضلع 1 شکل با دو محور تقارن

c = $\frac{h}{y} \sqrt{\frac{3}{c_m}}$ برای ضلع ناوردانی

(2) مقاومت ضعیف ضلع 1 شکل با دو محور تقارن با بالهای غیرمنشرده و جان منشرده حول محور قوی :

الف) حالت حدی کماتس پیچشی - جانبی (LTB) :

الزامات این حالت حدی عیناً مشابه حالت قوی است :

ب) حالت حدی کماتس موضعی بال منشرده غیرمنشرده (FLB) :

$$M_n = \left[M_p - (M_p - 0.7 F_y S_x) \left(\frac{\lambda - \lambda_{pf}}{\lambda_{rf} - \lambda_{pf}} \right) \right]$$

λ : نسبت عیناً به ضمایم بال منشردی و برابر با $\frac{b_f}{r_{tf}}$

$\lambda_p = \lambda_{pf}$: طولانی برای بال منشرده

$\lambda_r = \lambda_{rf}$: طولانی برای بال غیرمنشرده

(3) ضمایم ضعیف ضلع 1 شکل و ناوردانی حول محور ضعیف :

الف) حالت حدی تسلیم (4) :

و_y : اساس ضلع الاستیک نسبت به محور ضعیف

و_x : اساس ضلع پلاستیک نسبت به محور ضعیف

ب) حالت حدی کماتس موضعی بال منشردی (FLB) :

ب - 1) برای ضلع با بالهای منشرده لغزیدی به در نظر گرفتن کماتس موضعی بال نوی باشد.

ب - 2) برای ضلع با بالهای غیرمنشرده :

$$M_n = \left[M_p - (M_p - 0.7 F_y S_x) \left(\frac{\lambda - \lambda_{pf}}{\lambda_{rf} - \lambda_{pf}} \right) \right]$$

و_y : اساس ضلع الاستیک نسبت به محور ضعیف



طراحی تیر - ستون تحت اثر بار خمشی و برشی همزمانی : sazeh118.com

برای حل مسائل مربوط به تیر - ستون نام های زیر را همین کنیم :

گام ۱) حدین اولیه و بررسی شروط مقاومت و تسلیم (بخش نشاری)

گام ۲) بررسی شروط مقاومت خمشی و در صورت نیاز (بخش خمشی)

گام ۳) کنترل لایری (بخش نشاری)

گام ۴) کنترل فشردگی (بخش خمشی)

گام ۵) محاسبی ضریب طول مؤثر (بخش نشاری)

گام ۶) اصلاح لایری در صورت دریل طراحی شدن مصالح (بخش نشاری)

گام ۷) بررسی حالات هدی حاکم [ظرفیت اسمی نشاری] (بخش نشاری)

گام ۸) $P_u = P_{nt} + P_{lt}$ (مقاومت نشاری مورد نیاز)

گام ۹) بررسی شده زیر :

$$\left\{ \begin{array}{l} \frac{P_u}{\phi_c P_n} \geq 0.2 \rightarrow \frac{P_u}{\phi_c P_n} + \frac{1}{9} \left(\frac{M_{ux}}{\phi_b M_{nx}} + \frac{M_{uy}}{\phi_b M_{ny}} \right) \leq 1 \quad \phi_c = 0.9 \\ \frac{P_u}{\phi_c P_n} < 0.2 \rightarrow \frac{P_u}{2\phi_c P_n} + \left(\frac{M_{ux}}{\phi_b M_{nx}} + \frac{M_{uy}}{\phi_b M_{ny}} \right) \leq 1 \quad \phi_c = 0.9 \end{array} \right.$$

- M_{ux} : مقاومت خمشی مورد نیاز نسبت به محور x
- M_{uy} : مقاومت خمشی مورد نیاز نسبت به محور ضعیف y
- $\phi_b M_{nx}$: مقاومت خمشی طراحی نسبت به محور x
- $\phi_b M_{ny}$: مقاومت خمشی طراحی نسبت به محور ضعیف y
- ϕ_b : ضریب کاهش مقاومت برای خمش

گام ۱۰) بررسی حالات هدی حاکم [ظرفیت اسمی خمشی] (بخش خمشی)

گام ۱۱) محاسبی β_1 :

$$\beta_1 = \frac{c_m}{1 - \frac{P_u}{P_{e1}}} < 1$$

- c_m : ضریب هم کانی لنگر حداکثر ناشی از تحلیل اولیه یا لنگر ثانویه در اعضای بدون انشال جانبی
- M_1 : لنگر کوچکتر (M_1 کوچکتر)
- M_2 : لنگر بزرگتر (M_2 بزرگتر)

$$c_m = 0.6 - 0.4 \left(\frac{M_1}{M_2} \right) > 0.4$$



نکته: برای تیر مستقیم جابجایی که در طول بارگذاری جانبی باشد، $C_m = 1$

$$P_{e1} = \frac{\pi^2 EI}{L^2}$$

I: جان اینرسی حول محور قوی

تکامل ۱۲) محاسبی B_2 :

$$B_2 = \frac{1}{1 - \frac{\sum P_u}{\sum P_{e2}}}$$

نکته: اگر طبقه چهارم شده باشد $B_2 = 1$ است.

$\sum P_u$: مجموع نیروهای فشاری
مستویهای طبقه
و بارهای بالای سقف

$$\sum P_{e2}: \text{مجموع ظرفیت فشاری اولیه مستقیم جان طبقه} \rightarrow \sum P_{e2} = \frac{\pi^2 EI}{(KL)^2}$$

I: جان اینرسی حول محور قوی

$$P_u = P_{nt} + B_2 P_{lt}$$

تکامل ۱۳) ترکیب نیروها و لنگر:

$$M_u = B_1 M_{nt} + B_2 M_{lt} \Rightarrow \begin{cases} M_u = B_1 M_{nt top} + B_2 M_{lt top} \\ M_u = B_1 M_{nt bot} + B_2 M_{lt bot} \end{cases}$$

تکامل ۱۴) کنترل کفایت مقطع:

$$\begin{cases} \frac{P_u}{\phi_c P_n} + \frac{1}{\phi} \left(\frac{M_{un}}{\phi_b M_{nx}} + \frac{M_{uy}}{\phi_b M_{ny}} \right) \leq 1 \\ \frac{P_u}{\phi_c P_n} + \left(\frac{M_{un}}{\phi_b M_{nx}} + \frac{M_{uy}}{\phi_b M_{ny}} \right) \leq 1 \end{cases}$$

→ جوابگو نبود مقطع
دوبل طراحی می‌شود.

تعریف دو پارامتر:

M_{nt} : لنگر خمشی مرتبه اول حاصل از بارهای ضریب بار با فرض عدم انتقال جانبی تاب تحت بارهای ثقلی

M_{lt} : لنگر خمشی مرتبه اول حاصل از بارهای ضریب بار ناشی از انتقال جانبی تاب تحت بارهای جانبی

P_n : ظرفیت اسمی فشاری

P_u : نیروی محوری ضریب بار با در نظر گرفتن اثر $P-\delta$ و $P-\delta$

میرزا

